

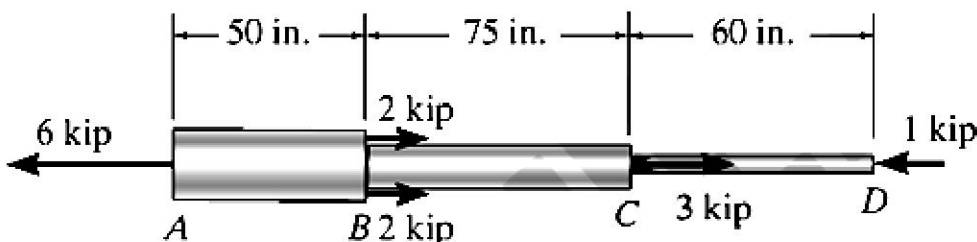
سری سوال: یک ۱

زمان آزمون (دقیقه): تستی: ۰ تشریحی: ۱۲۰

رشته تحصیلی/ گد درس: مهندسی مدیریت پروژه، مهندسی صنایع، مهندسی مدیریت اجرایی، مهندسی عمران- راه و ترابری، مهندسی صنایع چندبخشی ) ۱۱۲۰۰۹ - ، مهندسی متالورژی مواد- متالورژی صنعتی (۱۳۱۵۰۴۴

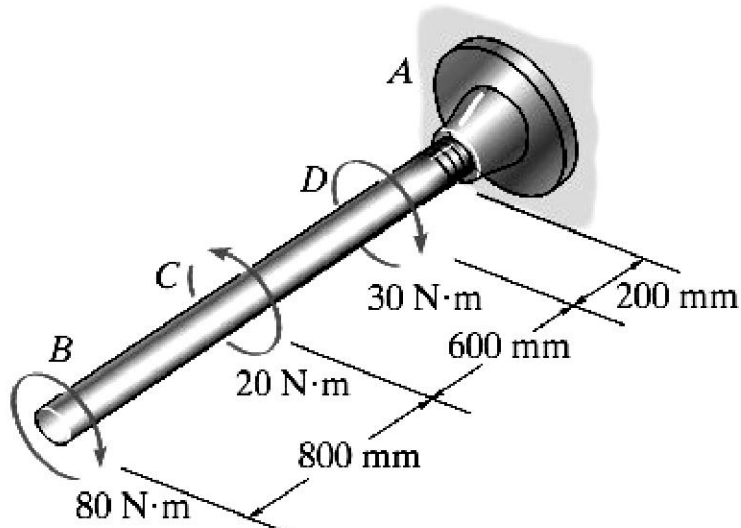
استفاده از ماشین حساب مهندسی مجاز است

- ۲.۸۰ نمره - مطابق شکل میله از جنس مس  $E = 18(10^3) \text{ ksi}$ ، تحت بارگذاری محوری قرار گرفته است. جابجایی نقطه نسبت به  $D$  را بدست آورید. همچنین تنش ها در قسمت های  $A$ ،  $AB$  و  $BC$  را بدست آورید. ( $d_{AB} = 3\text{ in}$ ,  $d_{BC} = 2\text{ in}$ ,  $d_{CD} = 1\text{ in}$ )



- ۲.۸۰ نمره - همانند شکل شافت فولادی ( $G = 75\text{ GPa}$ ) توپر با قطر  $20\text{ mm}$  در معرض گشتاورهای نشان داده شده قرار گرفته است.

مطلوب است محاسبه ای تنش پیچشی در قسمت های مختلف میله و همچنین زاویه پیچش سر  $B$ .

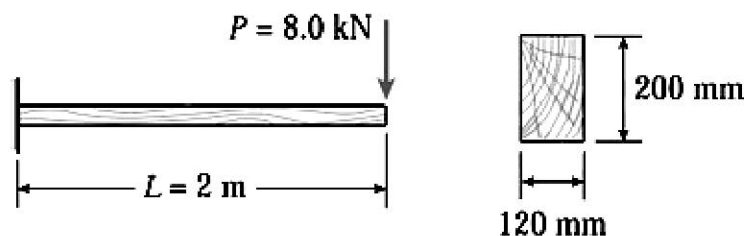


تعداد سوالات: تستی: ۰ تشریحی: ۵

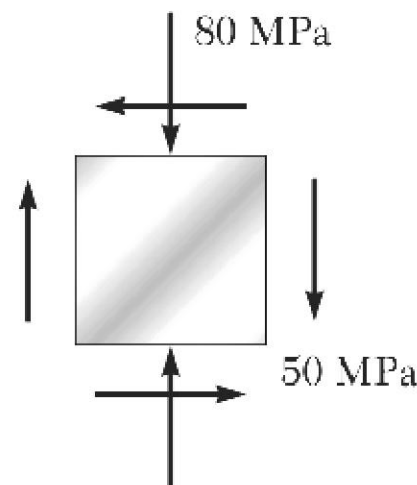
عنوان درس: مقاومت مصالح، مقاومت مصالح ۱

رشته تحصیلی/ گد درس: مهندسی مدیریت پروژه، مهندسی صنایع، مهندسی مدیریت اجرایی، مهندسی عمران- راه و تراپری، مهندسی صنایع (چندبخشی) ۱۱۲۰۰۹ -، مهندسی متالورژی مواد- متالورژی صنعتی ۱۳۱۵۰۴۴

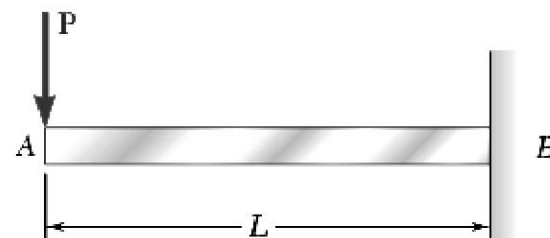
۳- تیر یکسرگیرداری همانند شکل بارگذاری شده است. بیشترین تنش عمودی ناشی از خمش را در تیر محاسبه کنید.



- ۴- برای وضعیت تنش صفحه‌ای نشان داده شده مطلوبست محاسبه‌ی:
- الف- صفحه‌های اصلی (زاویه امتدادهای اصلی با محور افقی)
  - ب- مقادیر تنش‌های اصلی
  - ج- تنش برشی ماکزیمم در صفحه و تنش قائم متناظر در این صفحه.



۵- تیری همانند شکل بارگذاری شده است. معادله منحنی الاستیک تیر و هم‌چنین خیز و شیب در نقطه A را بدست آورید.





گذ سری سوال: یک ۱

زمان آزمون (دقیقه): تستی: ۱۲۰ تشریحی:

تعداد سوالات: تستی: تشریحی: ۵

نام درس: مقاومت مصالح ۲

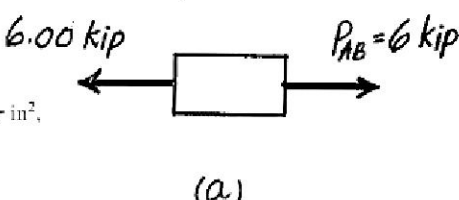
رشته تحصیلی / گذ درس: مهندسی عمران- راه و ترابری ارشد- مهندسی صنایع- مهندسی صنایع (چندبخشی)- مهندسی مدیریت اجرایی- مهندسی مدیریت پروژه- ۱۱۲۲۰۰۹ مهندسی متالوژی و مواد- ۱۳۱۵۰۴۴

بارم هر سوال ۲/۸۰ می باشد.

-۱

The normal forces developed in segment AB, BC and CD are shown in the FBDS of each segment in Fig. a, b and c respectively.

The cross-sectional area of segment AB, BC and CD are  $A_{AB} = \frac{\pi}{4}(3^2) = 2.25\pi \text{ in}^2$ ,  $A_{BC} = \frac{\pi}{4}(2^2) = \pi \text{ in}^2$  and  $A_{CD} = \frac{\pi}{4}(1^2) = 0.25\pi \text{ in}^2$ .

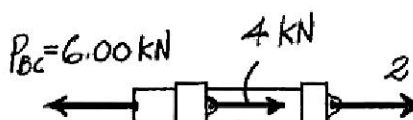


Thus,

$$\begin{aligned}\delta_{A/D} &= \sum \frac{P_i L_i}{A_i E_i} = \frac{P_{AB} L_{AB}}{A_{AB} E_{Cu}} + \frac{P_{BC} L_{BC}}{A_{BC} E_{Cu}} + \frac{P_{CD} L_{CD}}{A_{CD} E_{Cu}} \\ &= \frac{6.00 (50)}{(2.25\pi)[18(10^3)]} + \frac{2.00 (75)}{\pi[18(10^3)]} + \frac{-1.00 (60)}{(0.25\pi)[18(10^3)]} \\ &= 0.766(10^{-3}) \text{ in.}\end{aligned}$$

Ans.

The positive sign indicates that end A moves away from D.



(b)



(c)



گُدد سری سؤال: یک ۱

زمان آزمون (دقیقه): تستی: ۱۲۰ تشریحی:

تعداد سؤالات: تستی: تشریحی: ۵

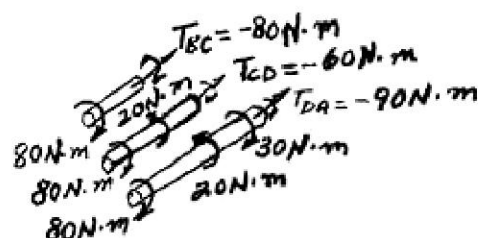
نام درس: مقاومت مصالح ۲

رشته تحصیلی / گد درس : مهندسی عمران- راه و ترابری ارشد - مهندسی صنایع - مهندسی صنایع (چندبخشی) - مهندسی مدیریت اجرایی - مهندسی مدیریت پروژه - ۱۱۲۲۰۰۹ مهندسی متالوژی و مواد - ۱۳۱۵۰۴۴

-۲

$$\phi_B = \sum \frac{TL}{JG}$$

$$= \frac{1}{\frac{\pi}{2} (0.01^4) (75.0) (10^3)} [-80.0(0.8) + (-60.0)(0.6) + (-90.0)(0.2)] \\ = -0.1002 \text{ rad} = 5.74^\circ$$



-۳

$$\sigma_{\max} = \frac{M_{\max} y}{I}$$

$$y = 100 \text{ mm}, M_{\max} = 8 \times 10^3 \times 2 = 16 \text{ kN.m}$$

-۴

$$\sigma_{\max, \min} = \frac{\sigma_x + \sigma_y}{2} \pm \sqrt{\left(\frac{\sigma_x - \sigma_y}{2}\right)^2 + \tau_{xy}^2}$$

$$\tan 2\theta_s = -\frac{\sigma_x - \sigma_y}{2\tau_{xy}}$$

$$\tau_{\max} = \sqrt{\left(\frac{\sigma_x - \sigma_y}{2}\right)^2 + \tau_{xy}^2}$$

$$\sigma' = \sigma_{\text{ave}} = \frac{\sigma_x + \sigma_y}{2}$$



گذ سری سوال: یک ۱

زمان آزمون (دقیقه): تستی: ۱۲۰ تشریحی:

تعداد سوالات: تستی: تشریحی: ۵

نام درس: مقاومت مصالح ۲

رشته تحصیلی / گذ درس: مهندسی عمران - راه و ترابری ارشد - مهندسی صنایع - مهندسی صنایع (چندبخشی) - مهندسی مدیریت اجرایی - مهندسی مدیریت پروژه - ۱۱۲۰۰۹ مهندسی متالوژی و مواد - ۱۳۱۵۰۴۴

-۵

**Fig. 9.9**
**Fig. 9.10**  

Using the free-body diagram of the portion  $AC$  of the beam (Fig. 9.10), where  $C$  is located at a distance  $x$  from end  $A$ , we find

$$M = -Px \quad (9.7)$$

Substituting for  $M$  into Eq. (9.4) and multiplying both members by the constant  $EI$ , we write

$$EI \frac{d^2y}{dx^2} = -Px$$

Integrating in  $x$ , we obtain

$$EI \frac{dy}{dx} = -\frac{1}{2}Px^2 + C_1 \quad (9.8)$$

We now observe that at the fixed end  $B$  we have  $x = L$  and  $\theta = dy/dx = 0$  (Fig. 9.11). Substituting these values into (9.8) and solving for  $C_1$ , we have

$$C_1 = \frac{1}{2}PL^2$$

which we carry back into (9.8):

$$EI \frac{dy}{dx} = -\frac{1}{2}Px^2 + \frac{1}{2}PL^2 \quad (9.9)$$

Integrating both members of Eq. (9.9), we write

$$EI y = -\frac{1}{6}Px^3 + \frac{1}{2}PL^2x + C_2 \quad (9.10)$$

But, at  $B$  we have  $x = L$ ,  $y = 0$ . Substituting into (9.10), we have

$$0 = -\frac{1}{6}PL^3 + \frac{1}{2}PL^3 + C_2$$

$$C_2 = -\frac{1}{3}PL^3$$

Carrying the value of  $C_2$  back into Eq. (9.10), we obtain the equation of the elastic curve:

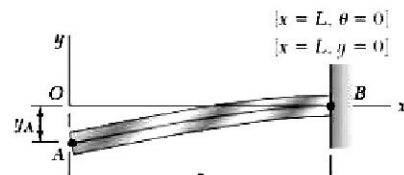
$$EI y = -\frac{1}{6}Px^3 + \frac{1}{2}PL^2x - \frac{1}{3}PL^3$$

or

$$y = \frac{P}{6EI}(-x^3 + 3L^2x - 2L^3) \quad (9.11)$$

The deflection and slope at  $A$  are obtained by letting  $x = 0$  in Eqs. (9.11) and (9.9). We find

$$y_A = -\frac{PL^3}{3EI} \quad \text{and} \quad \theta_A = \left(\frac{dy}{dx}\right)_A = \frac{PL^2}{2EI}$$

**Fig. 9.11**